

## 2A2) 석탄연소 시 배출되는 수은 및 유해금속 분포특성연구

### A Study on the Emission Characteristics of Hg and Hazardous Metals from Coal Combustion

박규식<sup>1)</sup> · 이주형 · 이상협 · 정태영<sup>2)</sup> · 서용칠

연세대학교 환경공학부, <sup>1)</sup>환경부, <sup>2)</sup>연세대학교 환경기술과학연구소

#### 1. 서 론

미세먼지와 인체와의 상관관계는 그 동안 수많은 연구에 의해 증명되어 왔다. 미국 EPA에서는 입자상 물질 중 특히  $10\mu\text{m}$  이하의 입자상 물질( $\text{PM}_{10}$ )과  $2.5\mu\text{m}$  이하의 입자상 물질( $\text{PM}_{2.5}$ )이 인체의 피해를 주며, 이는 악성친식, 심각한 호흡기장애, 폐 기능의 감소, 사망률의 증가를 야기시킨다고 하였다. 이에 본 연구에서는 화석연료 중 유해금속류를 내포하고 있는 석탄을 연소하여 발생되는 미세먼지 및 유해금속에 대한 상관관계를 고찰하여 보고자 하였다.

#### 2. 연구 방법

본 연구는 자체 drop-tube furnace( $150\text{W} \times 150\text{H} \times 1200\text{Lm/m}$ )를 제작하였으며, 연료는 석탄 화력발전소의 국내도입석탄 중 가장 많이 활용되고 있는 호주탄( $0.05\text{mg/kg Hg}$ ) 1종을 대상으로  $105^\circ\text{C}$ 에서 2시간 건조한 후 연소실험을 실시하였다. 또한 연소 후 발생된 비산재 내의 먼지에 따른 입경별 분포특성을 파악하고자 cut size  $0.0284\sim9.99\mu\text{m}$  범위까지 측정 가능한 low pressure impactor(LPI)를 drop-tube furnace와 연계하여 측정하고자 하였으며 그에 앞서 LPI 앞에 cyclone를 설치하여  $10\mu\text{m}$  이상의 입자를 제거하고자 하였다. 연소 온도는  $1,200^\circ\text{C}$ ,  $1,400^\circ\text{C}$ 의 고온으로 정하고 연소 측정시간은 1hr으로 하였으며 수은과 유해금속 측정 시 석탄 주입량은 각각  $0.057$ ,  $0.097\text{g/min}$ 이었으며 유량은  $9.76\text{ l/min}$ 로 일정하게 채취하였다. 채취된 시료 여지는 microwave oven으로 전 처리한 후 ICP로 분석 실시하였다.

#### 3. 결과 및 고찰

##### 3.1 입경별 먼지 분포도 추이 변화

연소 온도에 따른 입경별 먼지분포 결과, 다음 그림 1과 같이 나타났다.  $1,200^\circ\text{C}$ 의 경우 입경  $0.04\sim0.21\mu\text{m}$ 과 입경  $1.0\mu\text{m}$  이상( $>\text{PM}_{1.0}$ )에서,  $1,400^\circ\text{C}$ 는 입경  $0.04\sim0.33\mu\text{m}$ 과 입경  $1.0\mu\text{m}$  이상( $>\text{PM}_{1.0}$ )의 범위에서 이봉형태를 띠고 있었으며, 입경  $5.39\mu\text{m}$ 에서 가장 우세한 형성을 보여주고 있었다.

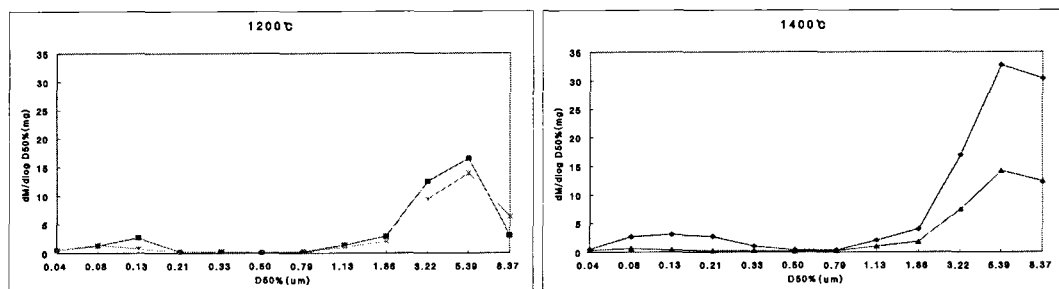


Fig. 1. Particle size distribution generated from bit. coal at  $1,200^\circ\text{C}$ ,  $1,400^\circ\text{C}$ .

##### 3.2 입경별 먼지에 따른 수은 추이 변화

연소 온도별 먼지에 따른 입경별 수은 질량분포 결과, 다음 그림 2와 같이 나타났다. 그 결과, 이봉형태를 띤 먼지분포도와 달리 입경범위는 온도에 따라 우세 형성도는 차이가 있으나  $1,200^\circ\text{C}$ 와  $1,400^\circ\text{C}$ 도

모두 입경  $0.33\mu\text{m}$ (약  $\text{PM}_{0.5}$ )에서 우세형성을 이루어져 있는 것으로 나타나어졌다. 이는 수은의 연소 과정에서 미세입자를 형성하여 배출되어지는 것으로 파악되어진다.

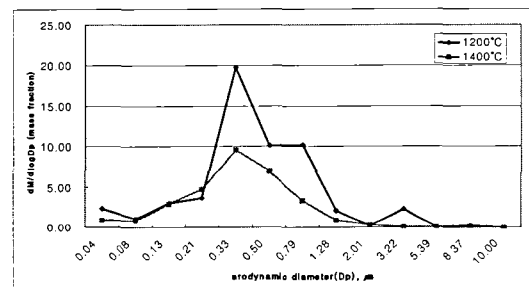


Fig. 2. Mass fraction of Hg by particle size from lab-scale coal combustion.

### 3.3 입경별 먼지에 따른 유해 금속 추이 변화

먼지에 따른 입경별 유해 금속 질량분포 결과. 다음 그림 3과 같이 나타냈다. 금속류에 따라 먼지별 입경범위가 다양하게 형성되어져 있는 것으로 나타났으며, 1,200°C의 경우 크게 입경  $0.2\mu\text{m}$  이하( $\text{PM}_{0.2}$ )까지 입자형성이 이루어지다가 입경  $2.5\mu\text{m}$  이상( $>\text{PM}_{2.5}$ )에서 다시 입자가 성장하고 있는 것으로 나타났다. 반면에 1,400°C의 경우 금속류의 성상에 따라 다소 차이를 보이고 있으며 일부 입경  $0.5\mu\text{m}$  이하( $\text{PM}_{0.5}$ )에서 입자 형성을 이루고 있는 것으로 나타냈다.

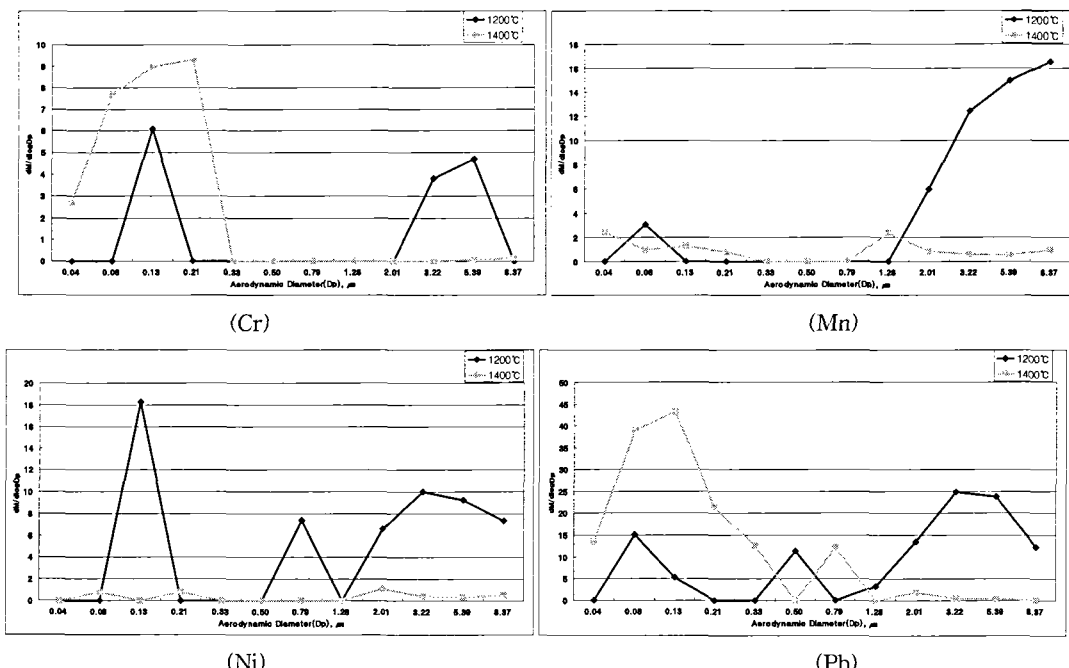


Fig. 3. Mass fraction of Cr, Mn, Ni, Pb by particle size from lab-scale coal combustion.

## 사 사

이 연구는 한국환경기술진흥원의 차세대핵심사업과 한국전력연구원의 연구지원으로 수행되었습니다.

## 참 고 문 헌

- 장하나 (2006) 「화석연료 및 폐기물 연소 시 배출되는 HAPs 중 수은과 주요유해중금속의 배출특성」, 연세대학교 대학원 박사학위논문.
- 장하나 (2006) 종유 연소 시 발생되는 미세입자 및 니켈과 바나듐의 대기 중 배출특성, 한국대기환경학회지, 22(3), 353-360.